

FIG. 1

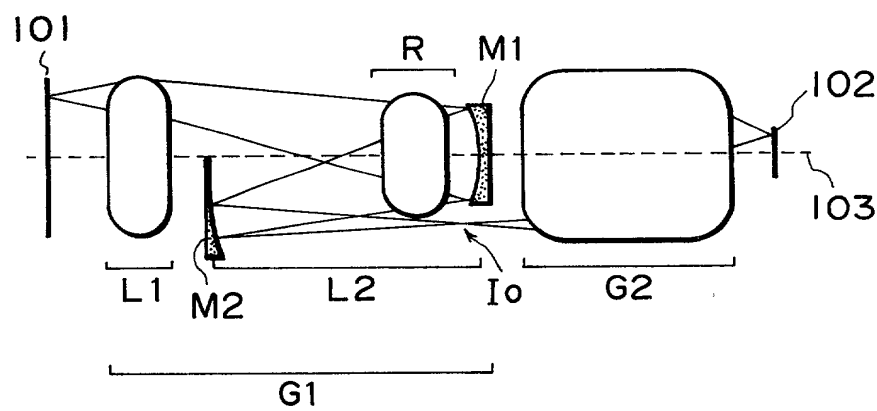


FIG. 2

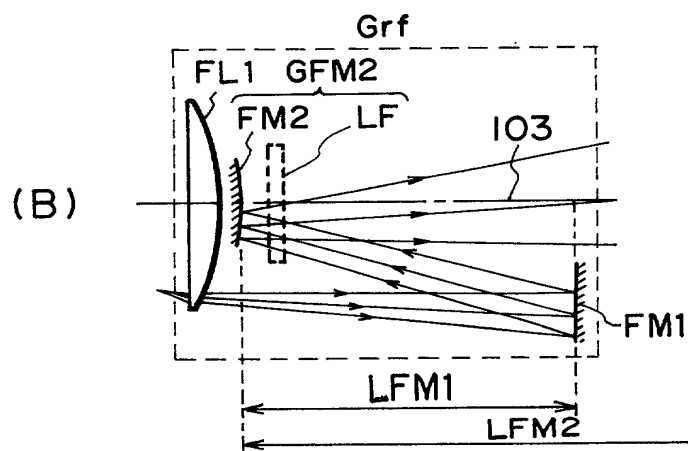
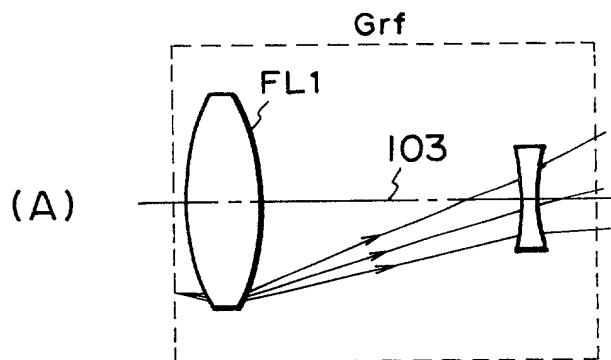
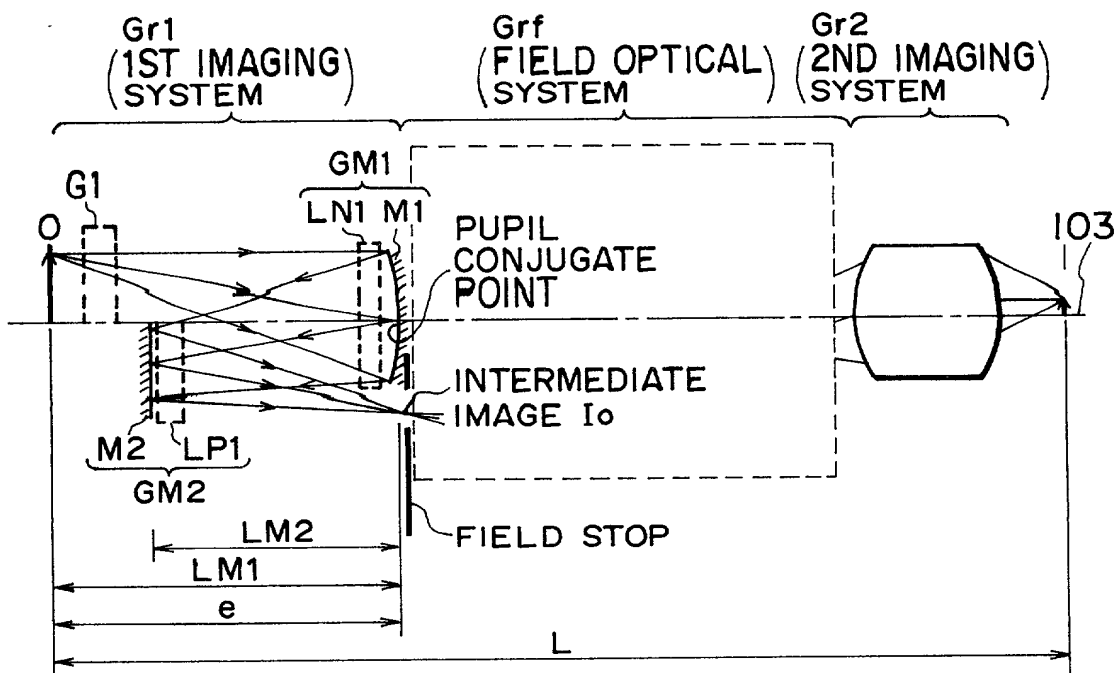


FIG. 3

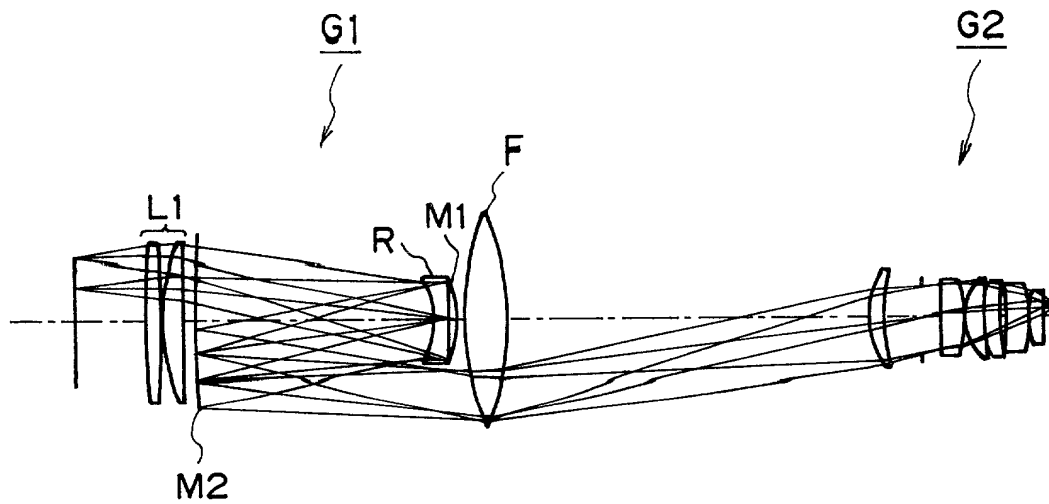


FIG. 4

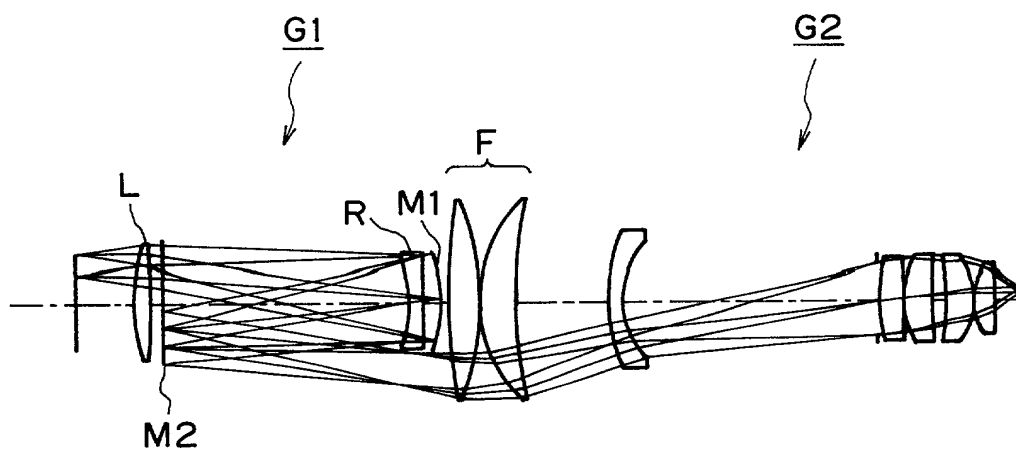


FIG. 5

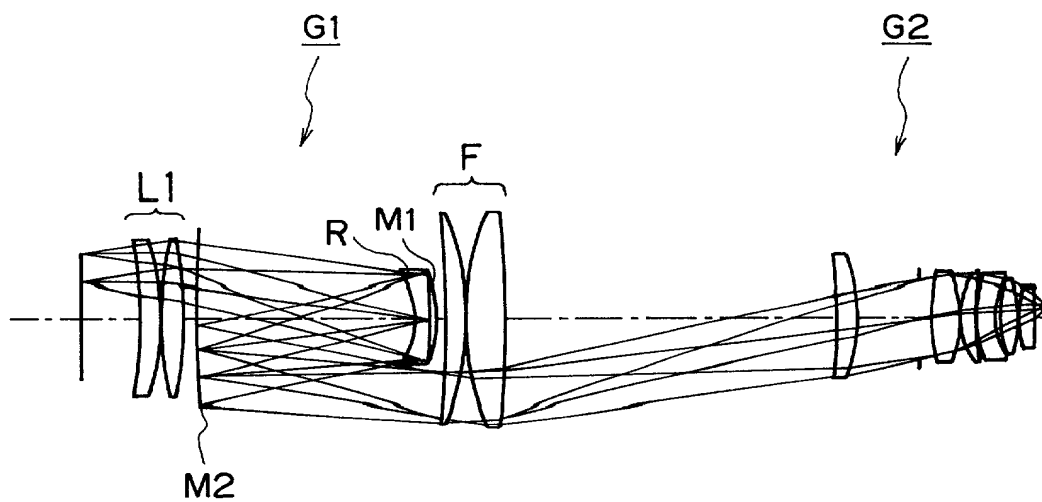


FIG. 6

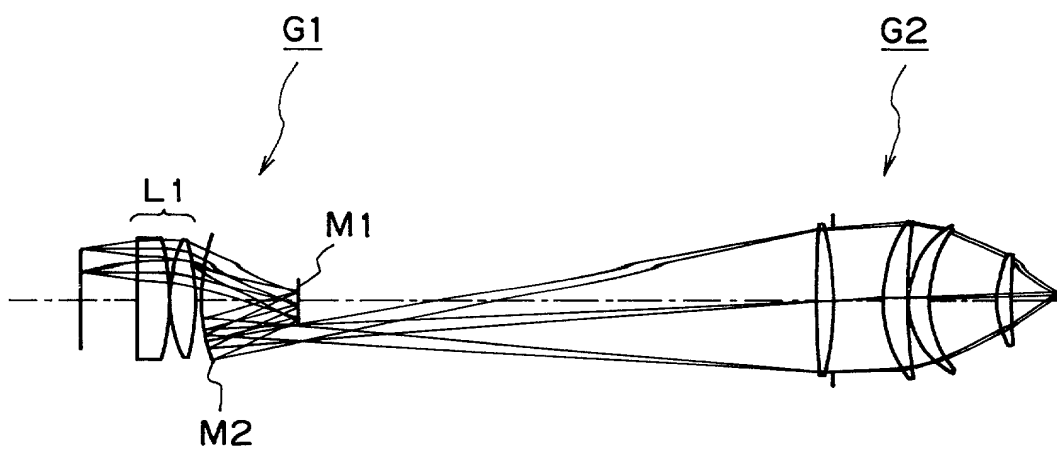


FIG. 7

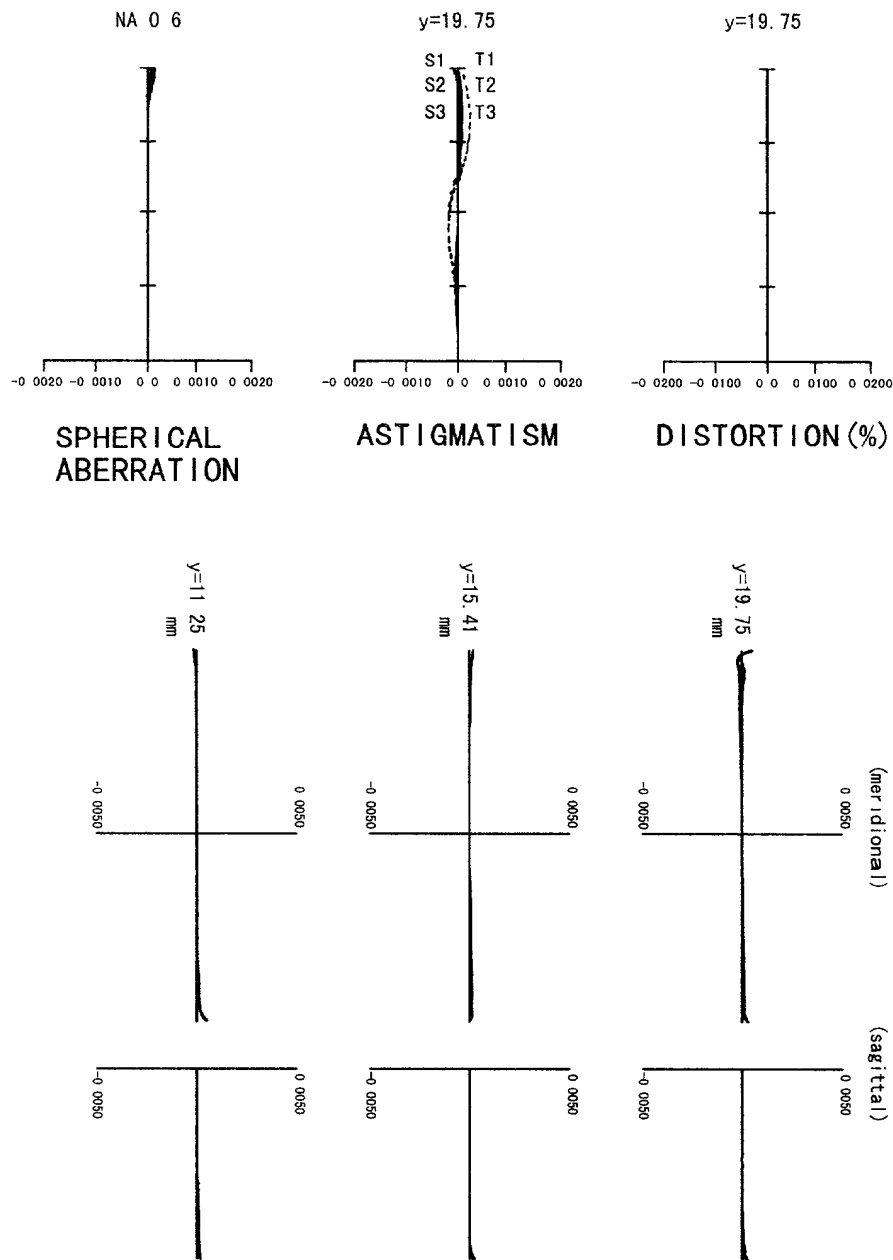


FIG. 8

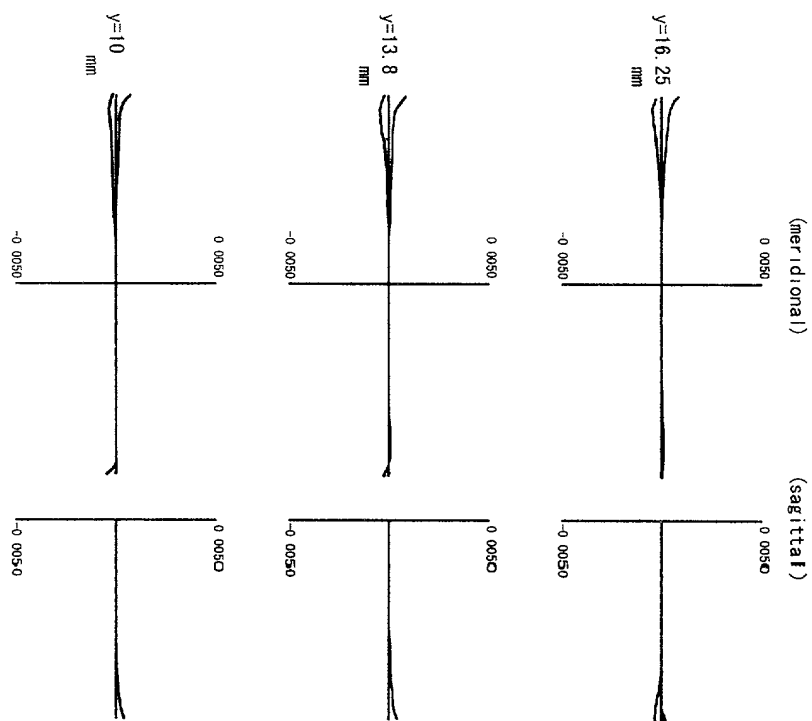
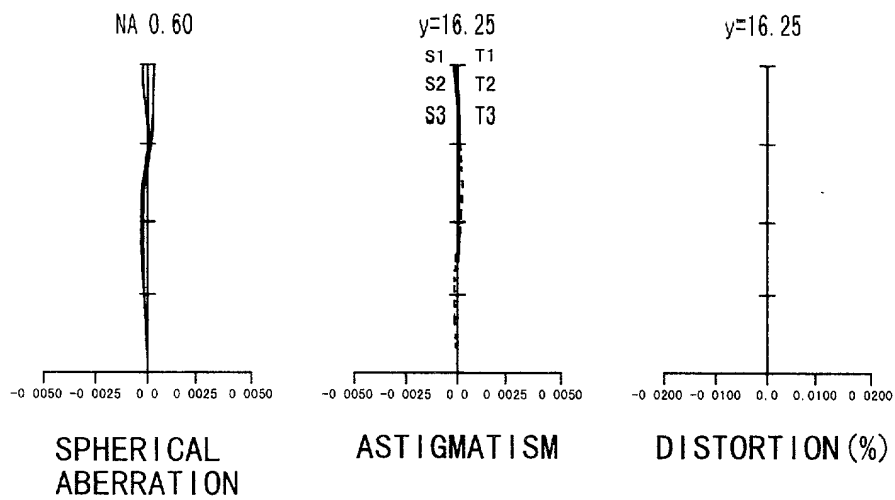


FIG. 9

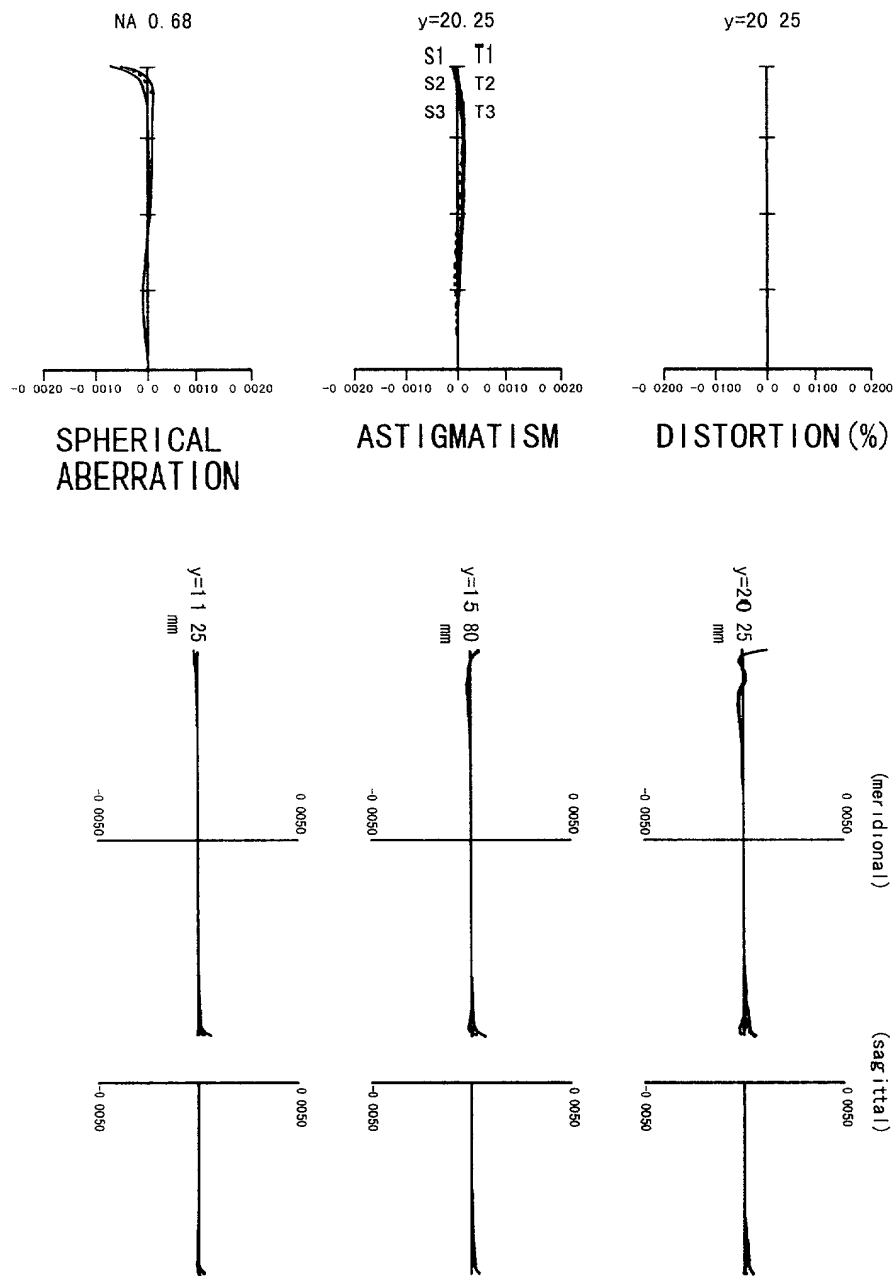
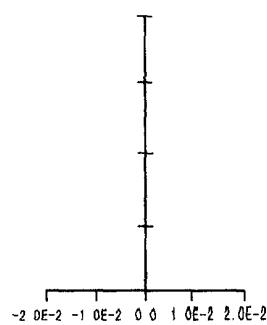


FIG. 10

$y=15$ 

DISTORTION (%)

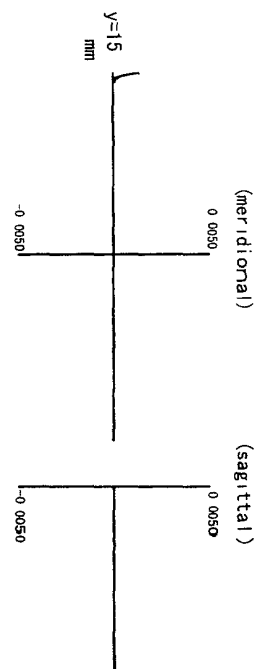


FIG. 11

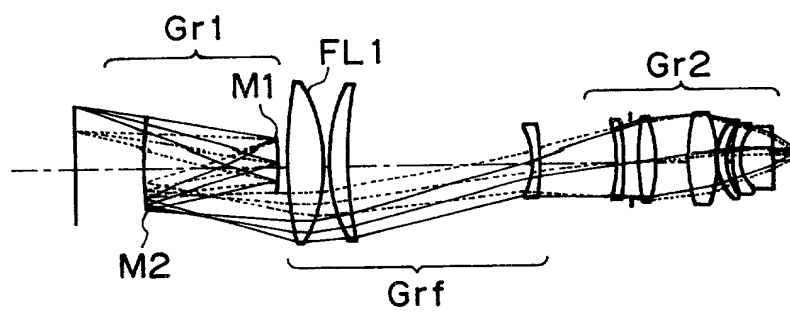


FIG. 12

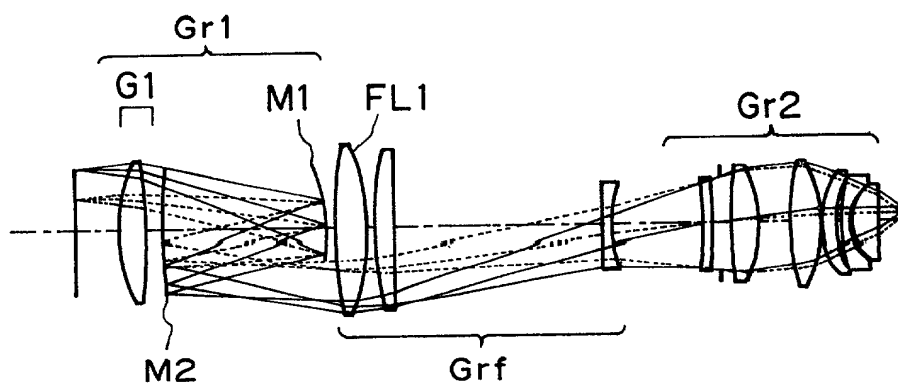


FIG. 13

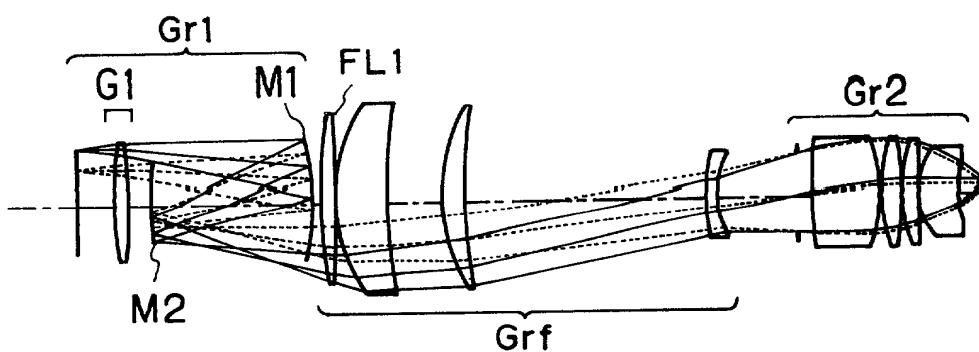


FIG. 14

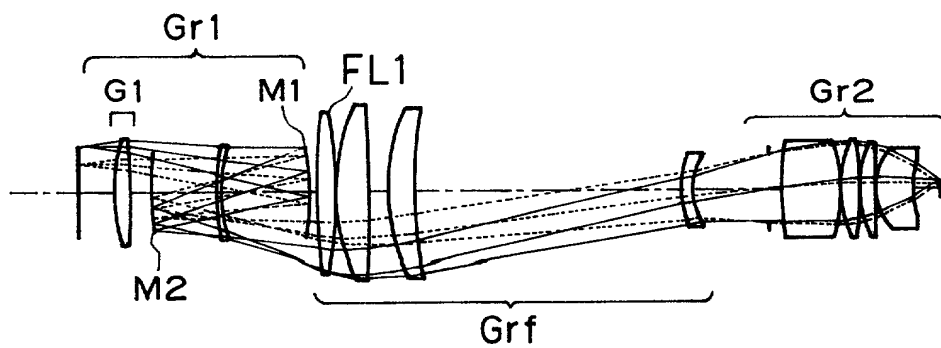


FIG. 15

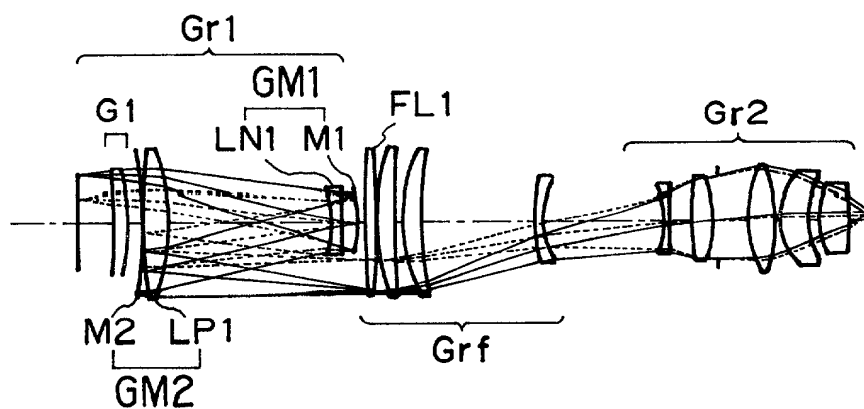


FIG. 16

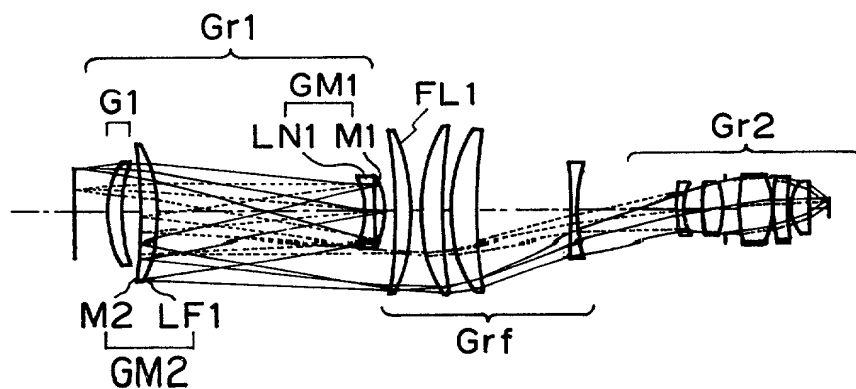


FIG. 17

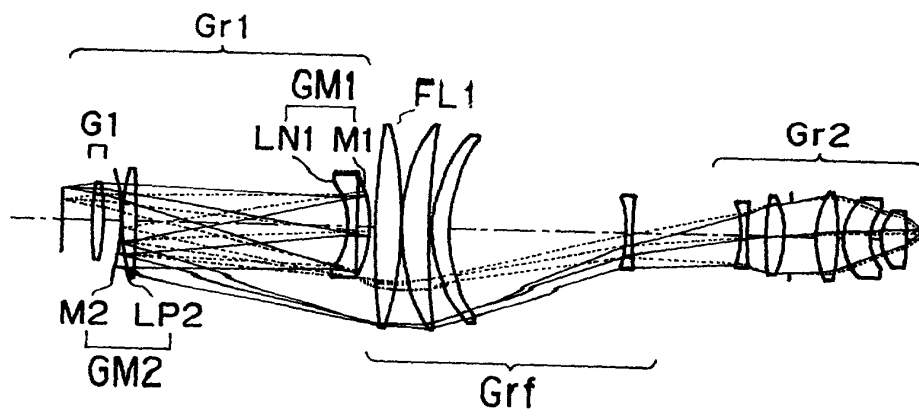


FIG. 18

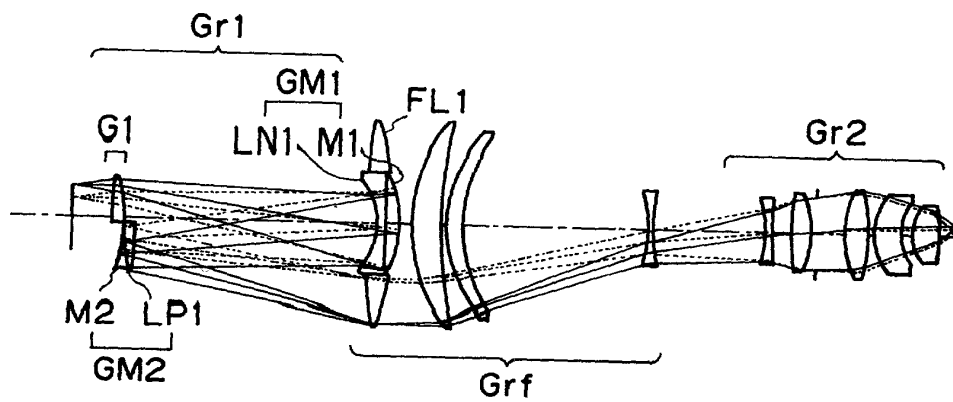


FIG. 19

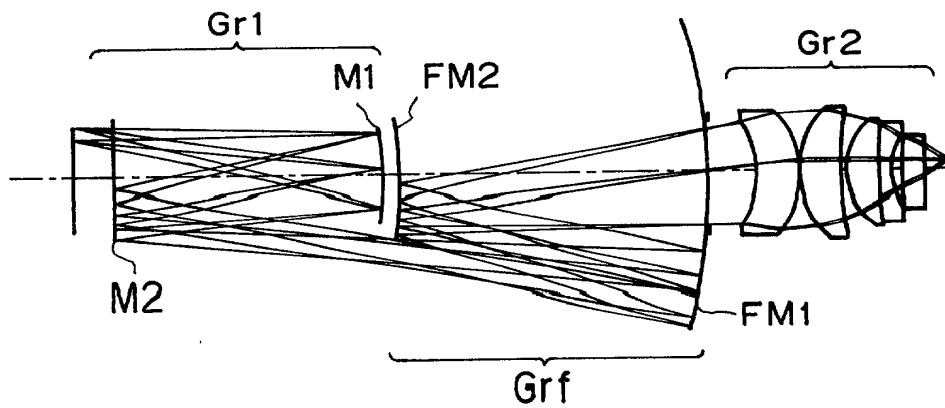


FIG. 20

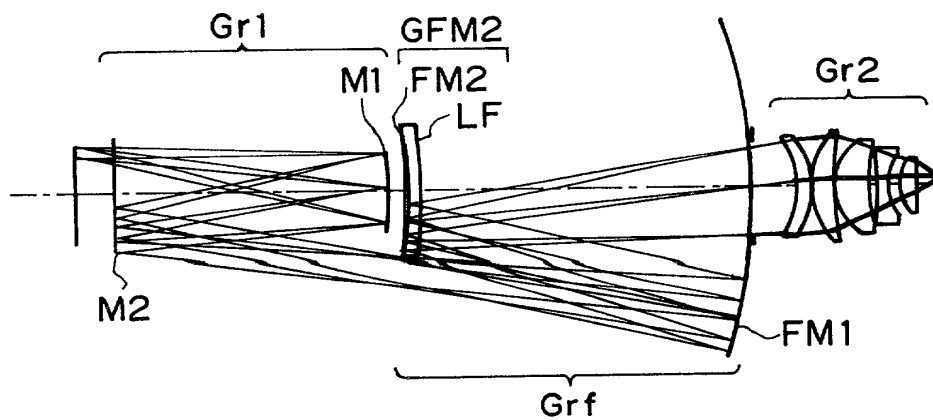


FIG. 21

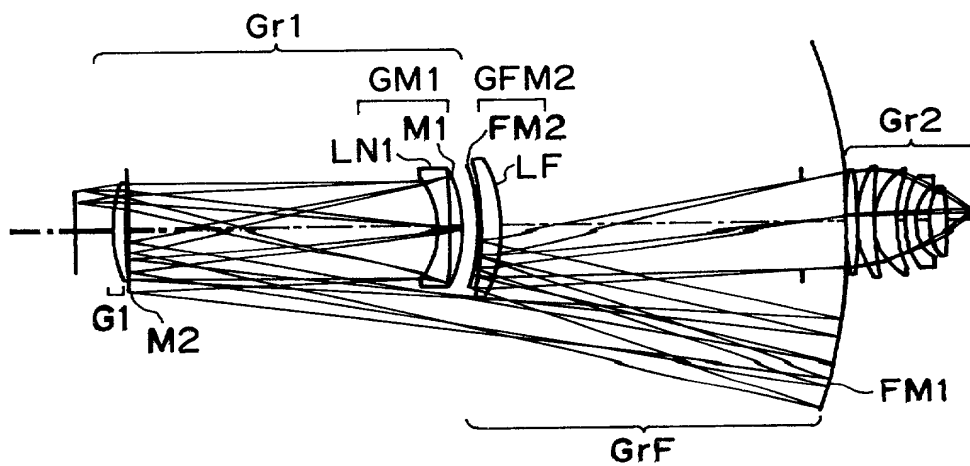


FIG. 22

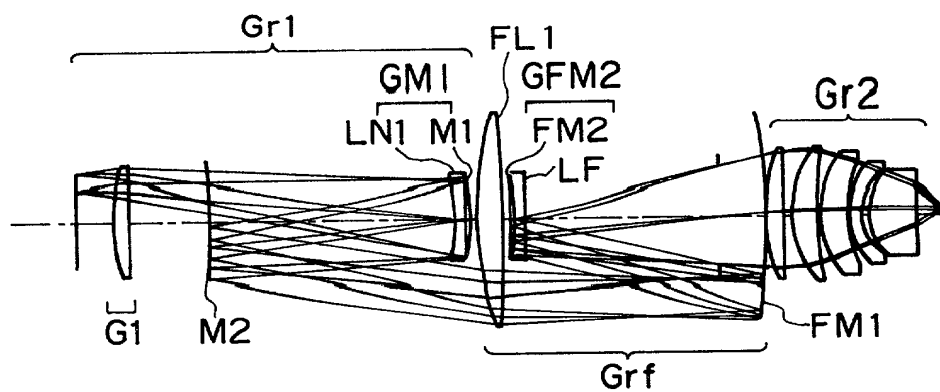


FIG. 23

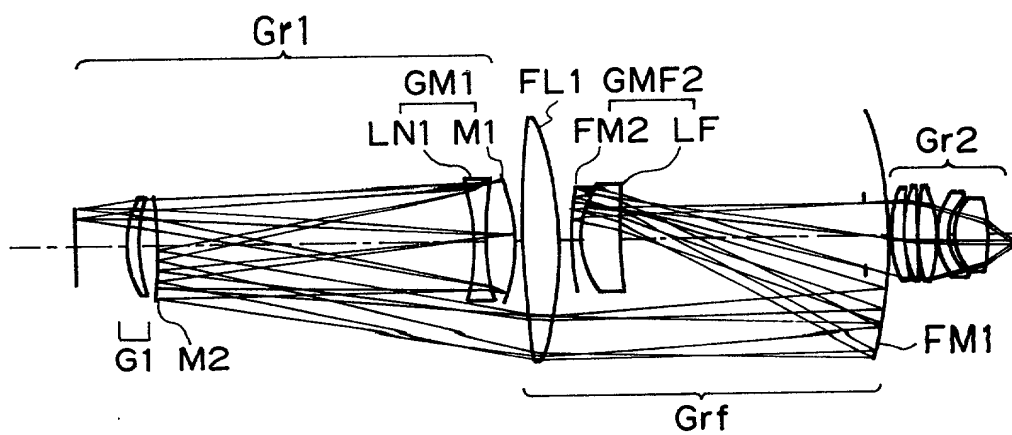


FIG. 24

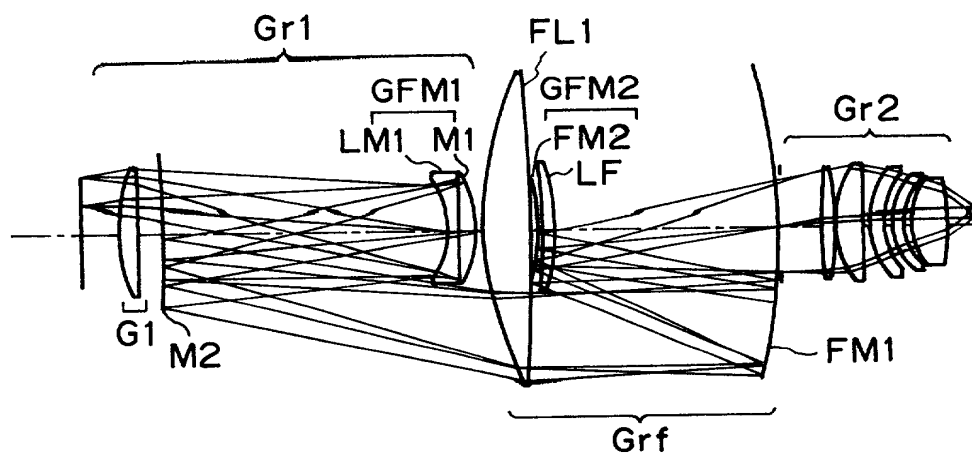


FIG. 25

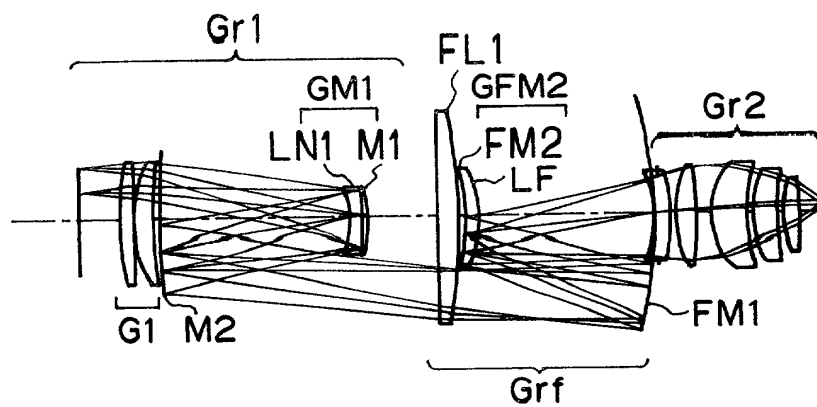


FIG. 26

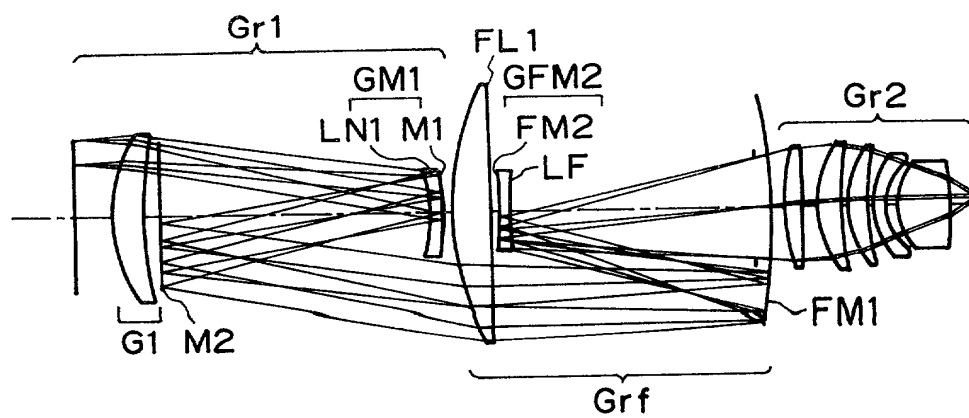


FIG. 27

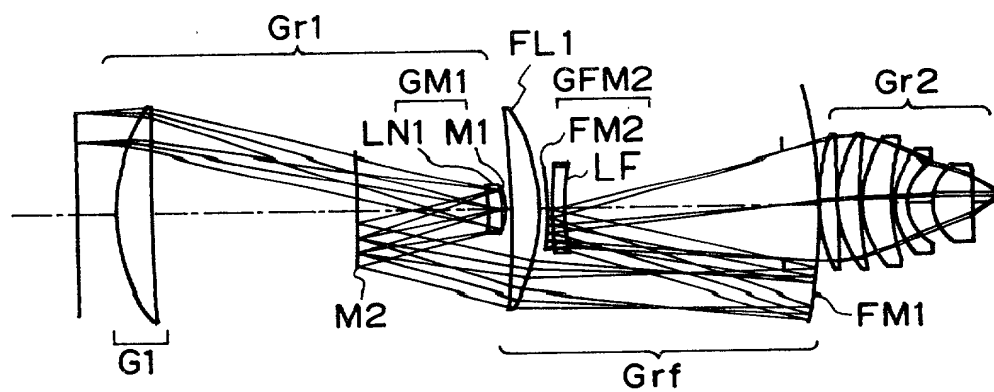


FIG. 28

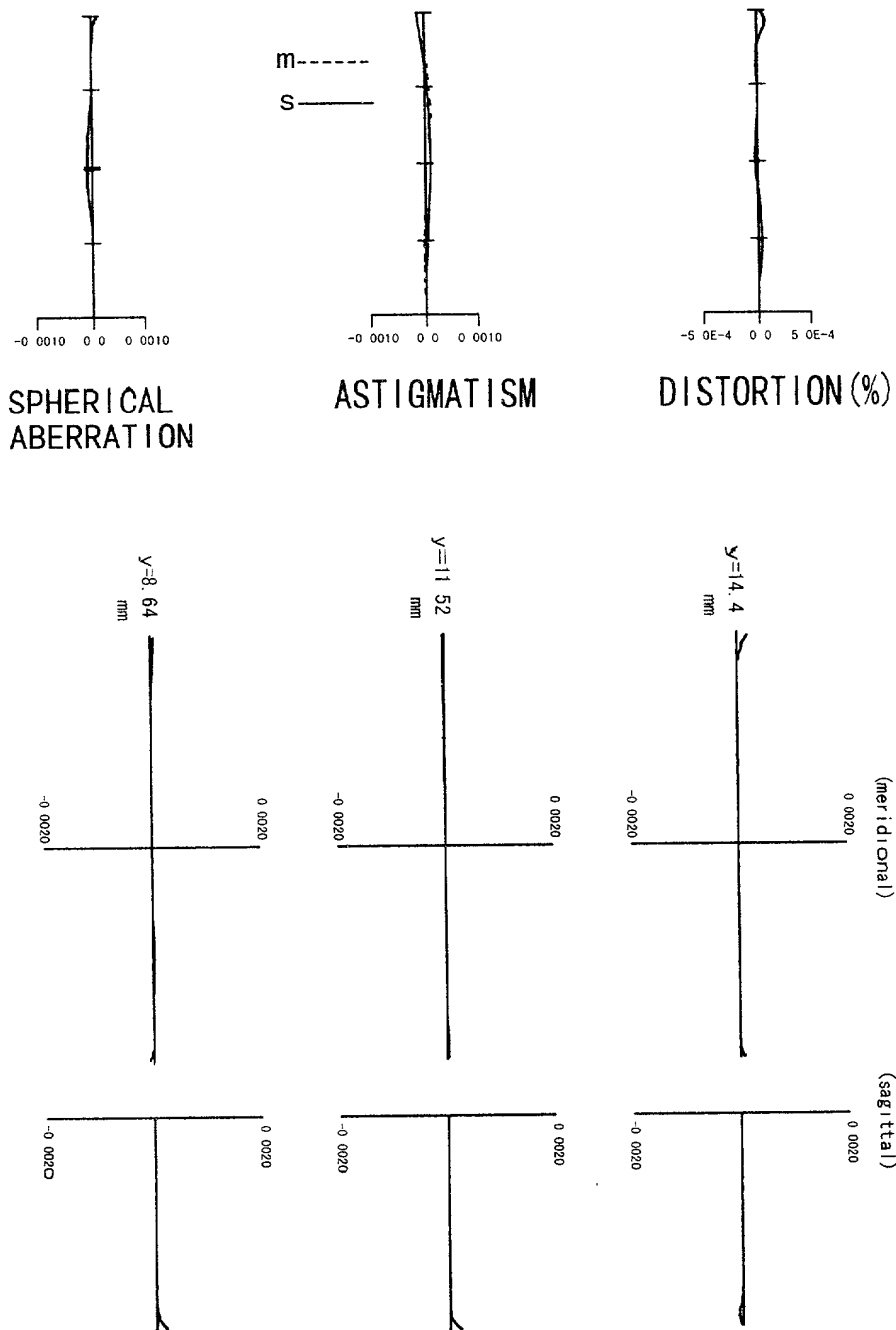


FIG. 29

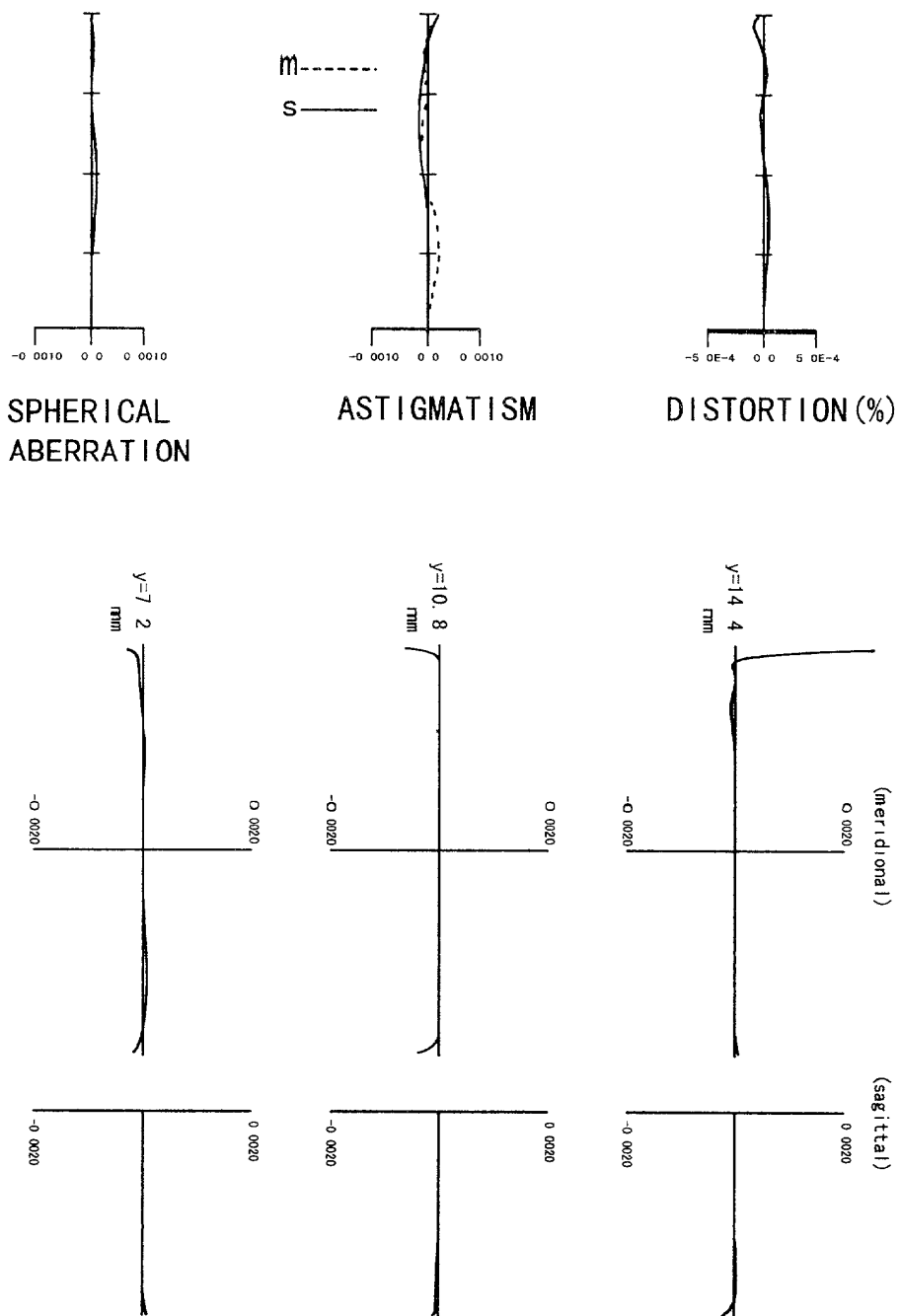


FIG. 30

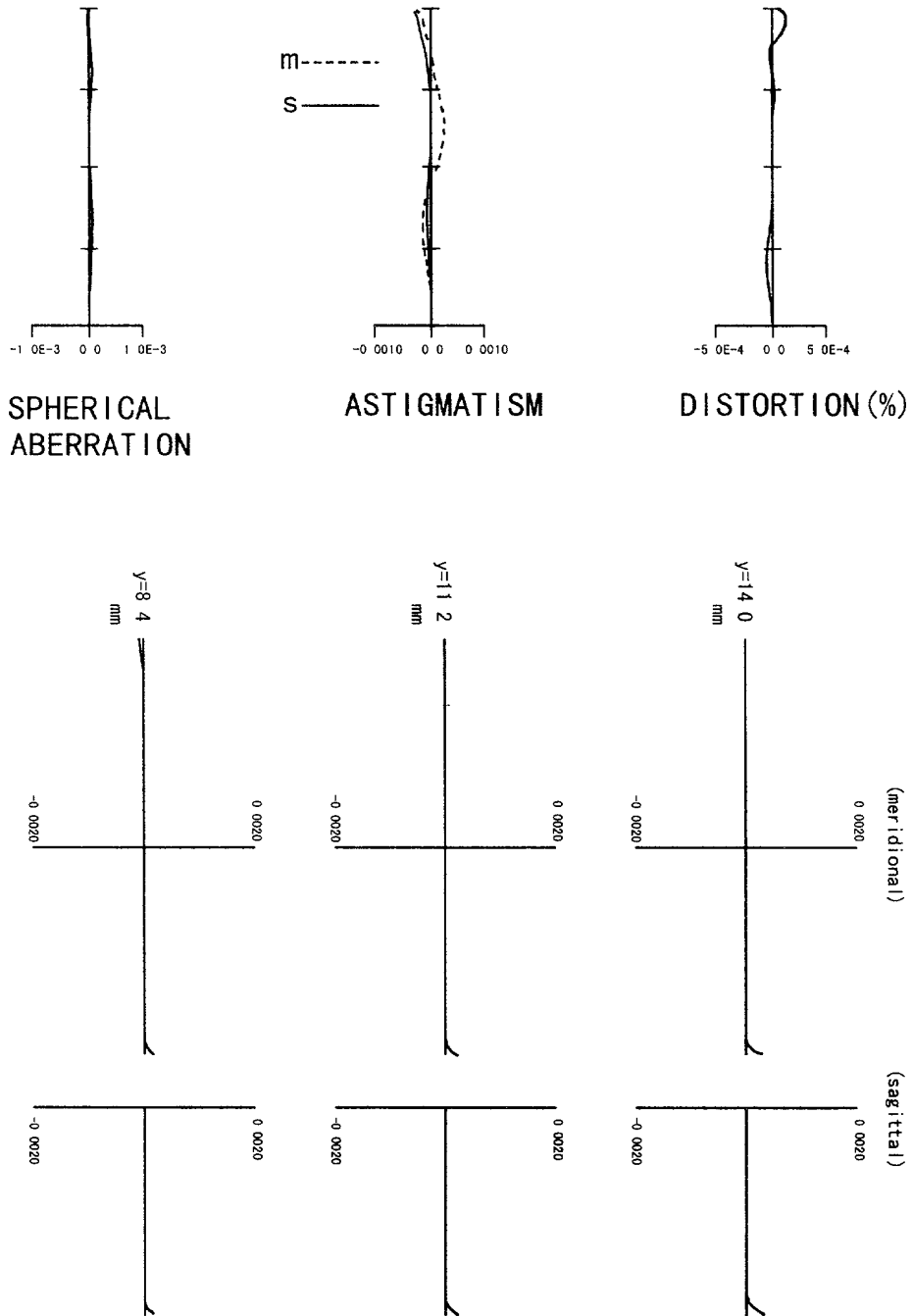


FIG. 31

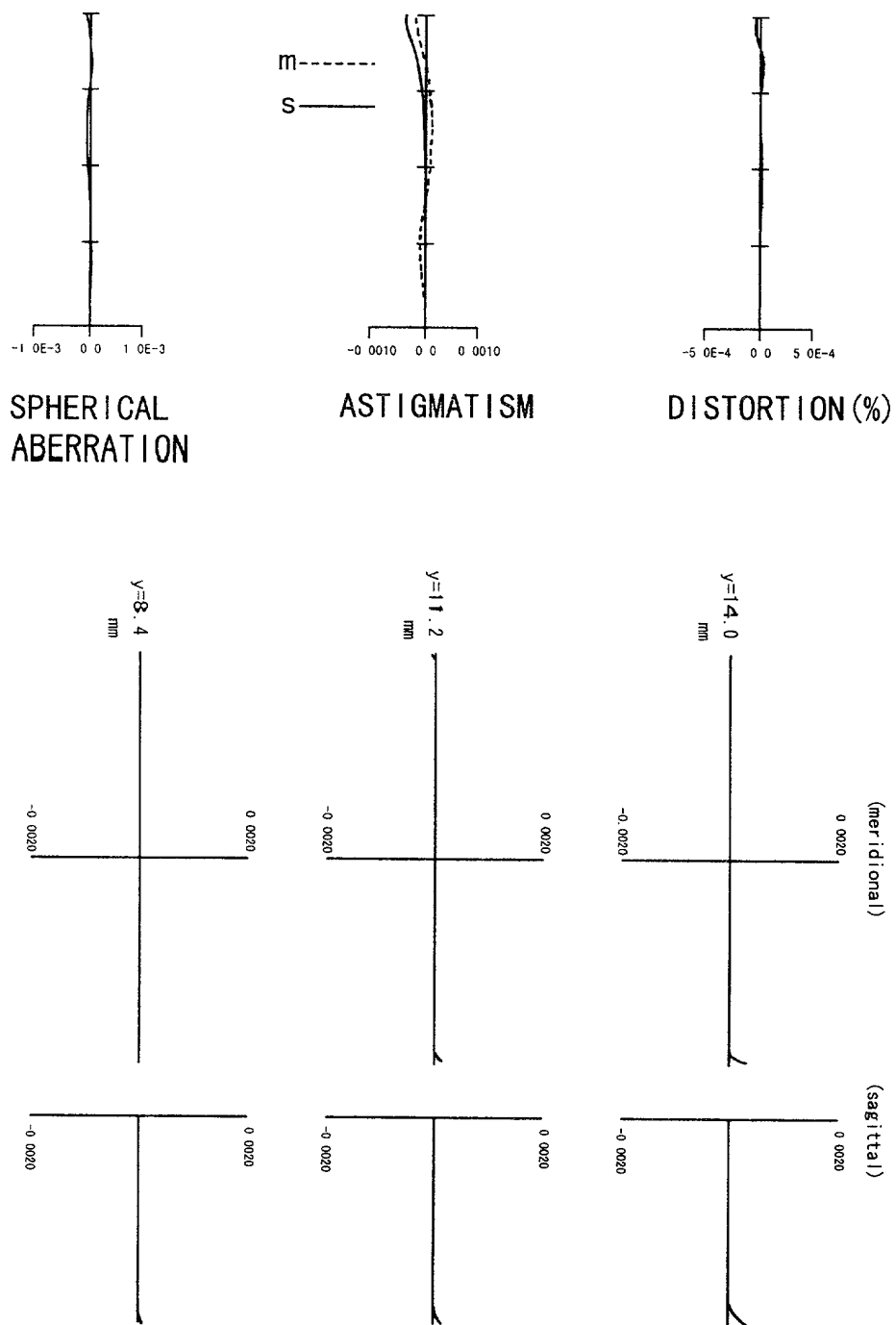
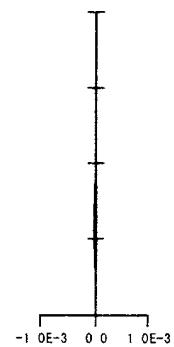
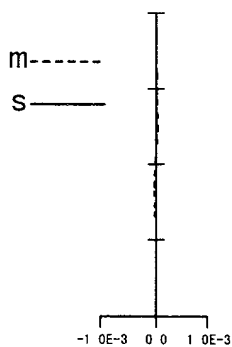


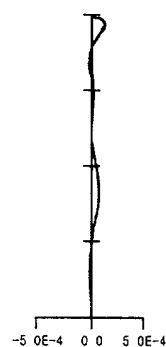
FIG. 32



SPHERICAL
ABERRATION



ASTIGMATISM



DISTORTION (%)

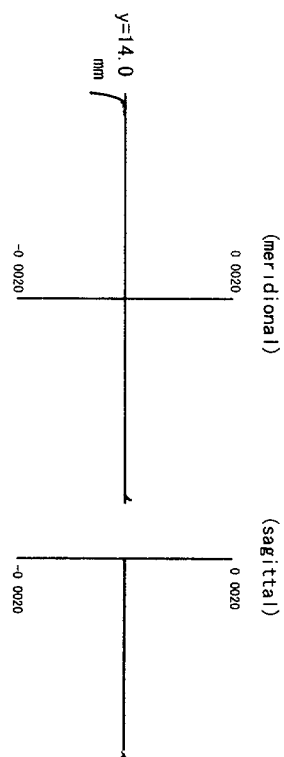
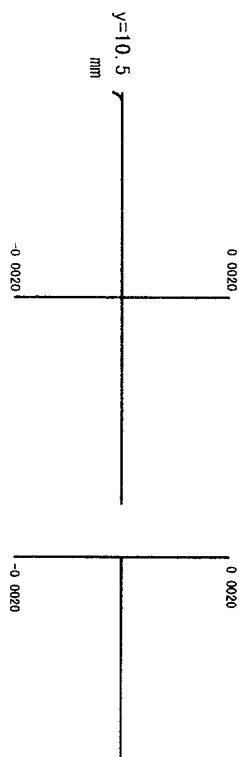
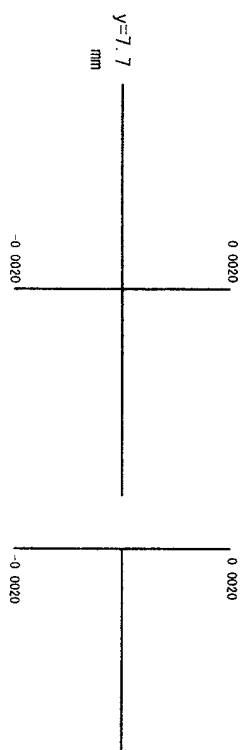
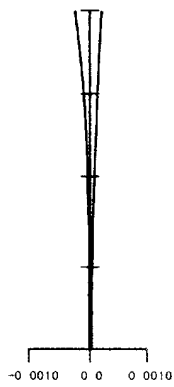
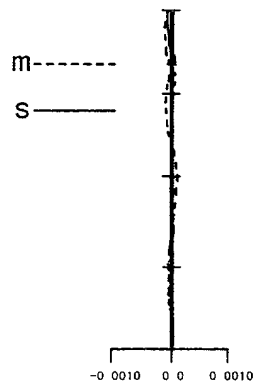


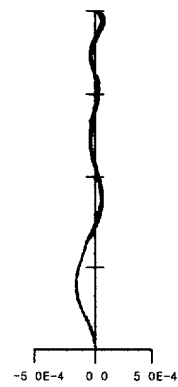
FIG. 33



SPHERICAL
ABERRATION



ASTIGMATISM



DISTORTION (%)

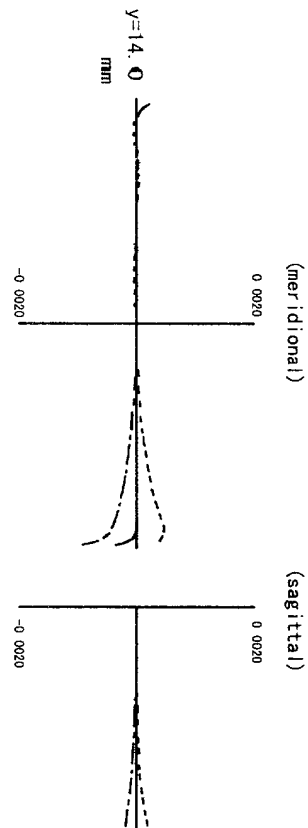
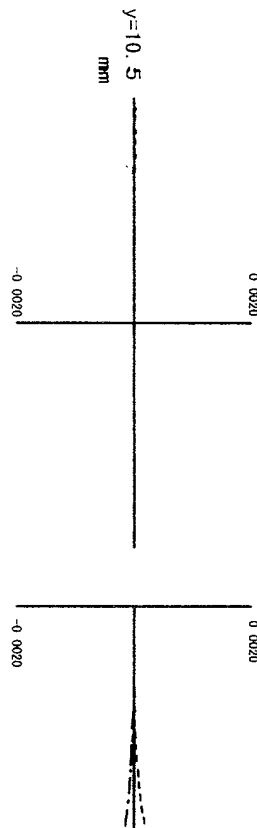
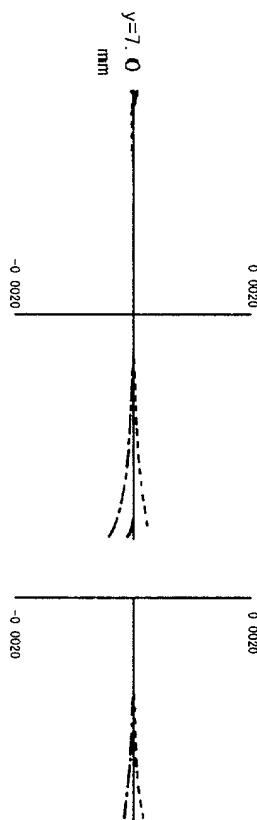


FIG. 34